

## 研究論文

大韓熔接學會誌  
第11卷第2號 1993年6月  
Journal of the Korean  
Welding Society  
Vol. 11. No. 2, Jun., 1993

## 複合組織鋼의 第2相 硬度變化가 腐蝕疲勞 크랙傳播에 미치는 影響

吳世旭\* · 金雄執\*\*

### The Influence on the Corrosion Fatigue Crack Propagation in Changing of the Second Phase Hardness of Dual Phase Steel

S. W. OH\*, W. J. Kim\*\*

**Key Words :** Dual Phase Steel(複合組織鋼), Fatigue Strength(疲勞強度), Initial Fatigue Crack(初期疲勞크랙), Corrosion Pit(腐蝕凹凸) Fatigue Fracture Behavior(疲勞破壞挾動)

#### Abstract

The corrosion fatigue fracture behaviour of dual phase steel was investigated in 3% NaCl solution at 302MPa and 137MPa. Fatigue test was conducted by cantilever type of self-made rotary bending fatigue testing machine.

The fatigue strength increased with increasing the hardness of 2nd phase. Corrosion pit originated at the boundary of the 2nd phase. The size and number of corrosion pits were influenced by the 2nd phase hardness, and pits remained constant in size just after they were transited into cracks.

The life of crack initiation was effected by stress level. The shape of relation of  $\Delta K$  and  $da/dN$  has smaller scattering in it in 3% NaCl solution than that in air. The higher the 2nd phase hardness is, the greater the corrosion fatigue life becomes. Corrosion fatigue fracture behaviour was primarily effected by mechanical factor in case of high stress(302MPa), but by electro-chemical reaction in a lower stress(137MPa). As stress level got lower and hardness of the 2nd phase got higher, the roughness of fracture surface increased.

\* 정회원, 동아대학교 공과대학 기계공학과

\*\* 정회원, 동아대학교 대학원

## 1. 序 論

反復荷重에 의한 構造物의 疲勞破壞는 空氣中の 경우, 母相과 제2상 간의 境界에서 슬립이 발생하여 母相으로 진전한 슬립으로 인하여 주크랙이 발생되며 이러한 슬립의 발생은 제2상의 硬度, 體積率, 形態 및 分布 등의 金屬學的인 성질과 應力레벨의 변화에 따른 力學的인 要因으로 塑性拘束性이 변화되므로 靜의<sup>1)</sup> 및 疲勞破壞<sup>2~4)</sup> 舉動에 많은 영향이 있는 것으로 알려져 왔다.

海洋環境의 경우, 反復應力에 의한 機械力學的인 疲勞현상과 環境효과가 중첩되어 작용하며 높은 應力에서는 機械力學的인 機構에 의해, 낮은 應力에서는 電氣化學的인 腐蝕기구에 의해 疲勞破壞가 일어난다고 보고<sup>5, 6)</sup> 되고 있다.

海洋構造物을 제작할 때 機械加工時에 발생하는 热的要因에 의해 材料의 硬度변화가 일어나므로 海洋環境의 측면에서 제2상의 硬度변화에 대한 塑性拘束性이 주목된다. 그러므로 軟質相인 母相과 硬質相인 제2상으로 구성된 複合組織鋼의 경우 제2상의 硬度를 변화시켰을 때 環境要因의 변화인 空氣 및 3% NaCl 水溶液中에서 작용應力레벨의 변화에 의해 疲勞破壞舉動에 많은 차이가 있을 것으로 추측된다.

本研究에서는 低炭素鋼(SM20C)을 素材로 일련의 热處理過程을 거쳐 硬質相인 제2상의 硬度를 변화시킨 連結材 形狀의 複合組織鋼(second phase encapsulated islands of ferrite)을 片持式 反復回轉鼓 휨疲勞試驗을 통하여 空氣中 및 3% NaCl 水溶液中에서 高·低應力 레벨의 변화가 初期크랙의 發生過程, 疲勞크랙의 傳播速度와 應力擴大係數 및 크랙의 形成舉動에 미치는 影響에 대하여 考察하였다.

## 2. 實驗裝置 및 方法

素材는 热間壓延材인 構造用鋼(SM20C)으로서 化學成分은 Table 1과 같다.

素材의 热處理 과정은 Fig. 1에 표시한 바와 같아

Table 1 Chemical composition of material(Wt.%)

C	Si	Mn	P	S
0.21	0.23	0.41	0.02	0.006

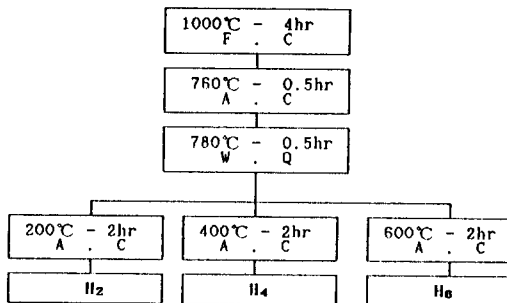


Fig. 1 Process of the heat treatment

組織의 均質化를 위하여 1000°C에서 4시간 유지시킨 후 爐冷하였다. 다음에 硬質相인 제2상이 軟質相인 母相(ferrite)을 둘러싼 連結材 形상의 複合組織鋼을 얻기 위하여 760°C에서 30분 유지시킨 후 空冷 처리하였으며 다시 780°C에서 30분 가열후 물속에서 담금질 하였다. Fig. 2는 이러한 热處理 과정에서



Fig. 2 Microstructure of specimens

얻어진 대표적인 連結材형상의 複合組織鋼(M.E.F)과 母材(R)의 金屬顯微鏡 組織寫眞이다.

그리고 제2상의 硬度를 변화시키기 위하여 200°C, 400°C 및 600°C에서 각각 2시간씩 유지시킨 후 空冷한 材料를 H<sub>2</sub>, H<sub>4</sub> 및 H<sub>6</sub>材라 하였다.

Table 2는 複合組織鋼의 金屬的 性質을 나타내며 Table 3은 母材와 複合組織鋼의 機械的 性質을 나타낸 것이다.

Table 2 Metallurgical properties of dual-phase steel

	ferrite grain size (μm)	2nd phase volume fraction (%)	connec- tivity (%)	hardness(Hv), 25gf		
				ferrite	2nd phase	ratio
H <sub>2</sub>	31	52	97	231	689	3.0
H <sub>4</sub>	31	52	97	192	370	1.9
H <sub>6</sub>	31	52	97	160	220	1.4

Table 3 Metallurgical properties

series	R	H <sub>2</sub>	H <sub>4</sub>	H <sub>6</sub>
tensile strength(MPa)	466	830	677	529
elongation(%)	30	16	26	36

Fig. 3은 疲勞試驗片 形狀으로써, 疲勞크랙 發生領域을 局限하고, 크랙의 관찰을 하기 쉽도록 지름 0.5mm, 깊이 0.5mm의 橫孔노치로 加工하였다.

疲勞試驗機은 片持式 回轉굽힘 疲勞試驗機(Canti-lever type rotated bending fatigue testing machine)로써 空氣中에서는 1500rpm, 3% NaCl 水溶液中에서는 150rpm으로 하였다.

3% NaCl 水溶液의 유량은 약 60CC/min로서 試驗片 중앙부에 流出시켜 2/3이상 침적토록 하였다. 3% NaCl 水溶液의 游度는 電子感溫장치를 이용하여 25°±1°C로 일정하게 유지시켰다.

크랙길이 측정은 일정시간 시험한 후 면봉을 이용하여 腐蝕生成物를 제거 하였으며, 軸에 대하여 直角方向으로 크랙발생곡면을 따라 金屬顯微鏡으로 측정하였다.

### 3. 實驗結果 및 考察

#### 3.1 S-N 曲線

S-N 曲線을 얻기 위하여 應力레벨을 100~400 MPa의 범위에서 작용應力레벨을 변화시키면서 破斷사이를 수를 측정하였다. 疲勞 시험편을 3% NaCl 水溶液中 및 空氣中에서 제2상의 硬度를 변화시켜 구한 疲勞强度曲線을 Fig. 4, 5에 나타내었다.

空氣中 및 3% NaCl 水溶液中에서의 疲勞强度는 Table 3에서와 같이 引張强度의 크기에 비례하며 제2상의 硬度가 높을수록 疲勞强度가 증가하였다. 그리고, 空氣中에서는 疲勞限度가 뚜렷하고 疲勞破壞曲線의 기울기가 적으나, 3% NaCl 水溶液中的 경우 疲勞破壞曲線의 기울기가 크고, 疲勞壽命이 현저하게 감소하였다. 또한, 同一應力레벨에서 疲勞壽命 변화폭은 空氣中에 비해 3% NaCl 水溶液中의 경우 텁퍼링 游度의 영향이 적게 나타났다.

結果的으로, 空氣中에서는 Kim<sup>1</sup>의 靜的 引張試驗

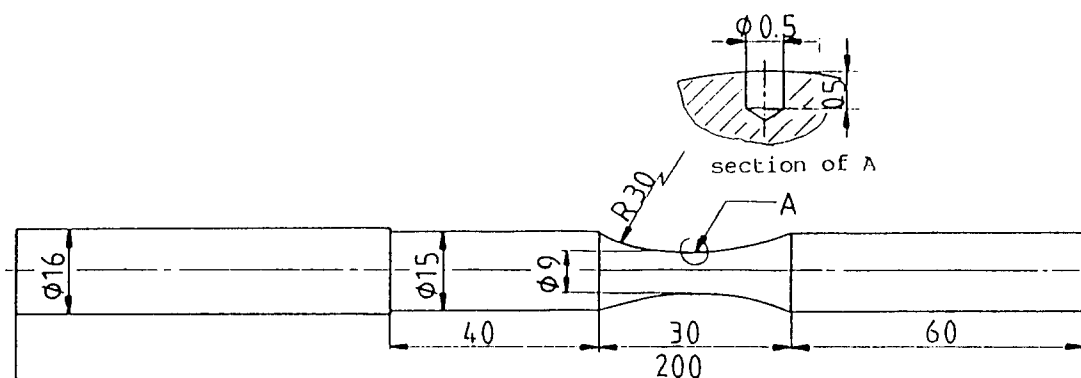


Fig. 3 Geometry of testing specimen

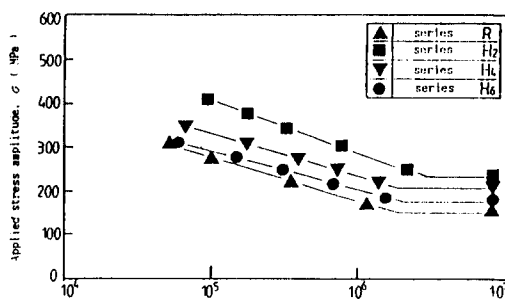


Fig. 4 S-N curves of specimen in air

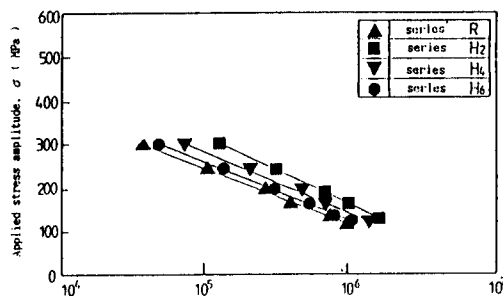


Fig. 5 S-N curves of specimen in 3% NaCl solution

및  $\text{O}^{2-}$ 의 疲勞試驗에서와 마찬가지로母相에서의  
劈開龜裂이 제2상의 塑性拘束力에 의해 저지되므로  
제2상의 硬度가 증가할수록 疲勞壽命이 증가하였으나,  
3% NaCl 水溶液中에서는 腐蝕溶媒와 金屬間의  
電氣化學的作用 및 機械的 疲勞作用의 결과 주로  
境界나 그 부근에서 腐蝕의 영향을 많이 받으므로  
塑性拘束 효과가 감소되어 空氣中에 비해 현저하게  
疲勞壽命이 감소하였다. 또한, 3% NaCl 水溶液中은  
周波數의 영향이 크므로 周波數가 낮을수록 크랙선  
단이 열린상태로 腐蝕환경에 접하는 시간이 길어짐에  
따라 腐蝕이 상대적으로 크게 작용하므로 疲勞壽命이  
空氣中에 비하여 감소되었다고 생각된다.

### 3.2. 初期슬립과 腐蝕피트 發生과의 關係

Fig. 6은 H<sub>2</sub>材에서 412MPa의 應力を 작용하였을 때 空氣中과 3% NaCl 水溶液中에서의 初期슬립을 나타낸 것이다.

一般的으로, 反復回轉급 힘 疲勞試驗의 경우 작용  
應力이 높을수록 粒內에서 많은 슬립이 발생하며  
이들 슬립이 어떠한 飽和領域에 도달하면 塑性拘束  
효과가 감소되어 주크랙으로 발생한다고 보고<sup>2)</sup>되고

Fig. 6 Initial slip in serise H<sub>2</sub>

있다.

實驗結果, 슬립이 모상과 제2상의 境界에서 발생  
하여 粒內로 傳播하여 境界나 제2상의 벽에서 저지  
되었고 인접한 結晶粒內에서는 또 다른 슬립이 發  
生하였다. 空氣中에서는 슬립선이 가늘게 나타나지  
만, 3% NaCl 水溶液中에서는 슬립에 腐蝕生成物이  
부착되어 슬립선이 굽게 나타났다.

Fig. 7은 3% NaCl 水溶液中에서 137MPa와 302  
MPa의 應력을 작용시켰을 때 腐蝕피트의 發生과  
成長과정을 나타낸 것이다. 應力 137MPa인 경우 腐  
蝕피트의 發生시기는 破斷壽命의 0.3~0.4% 이었고,  
應力 302MPa인 경우는 破斷壽命의 1~2% 범위에서  
腐蝕피트가 發生하였다. 특히, 302MPa에서 H<sub>6</sub>材의  
경우 슬립과 피트가 同伴된 樣相을 나타내었으나 H<sub>2</sub>

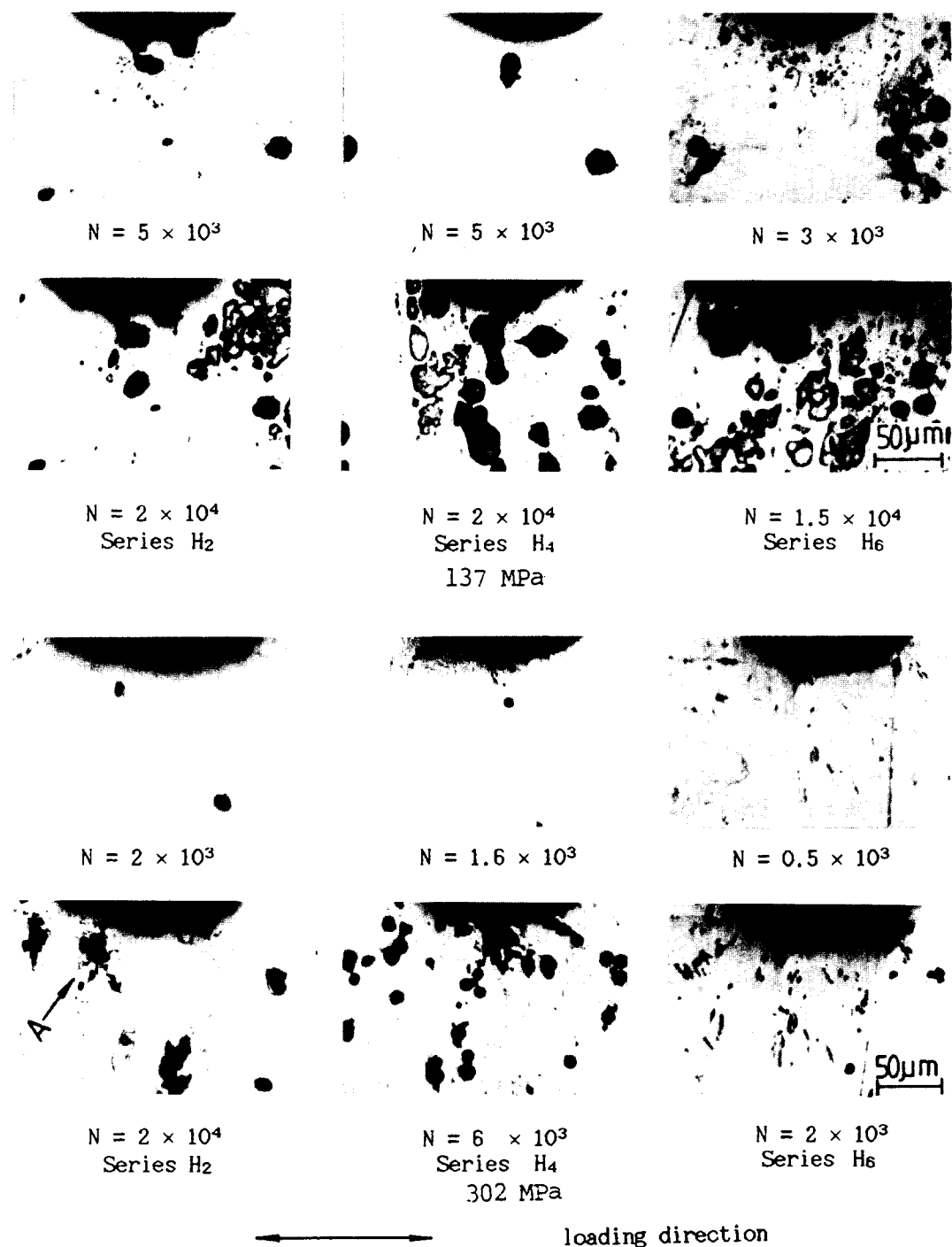


Fig. 7 Initiation and growth process of corrosion pits in 3% NaCl solution

材의 경우  $N_p = 2 \times 10^4$  사이클에서 高·低應力의 차이가 적으며 高應力의 경우 A부분의 피트에서 微視크랙이 發生되었다.

S45C材에 대한 Nisitani<sup>7)</sup>의 보고에서 작용 應力이 상대적으로 큰 경우 高密度의 腐蝕피트가 슬립대에 우선적으로 發生하고 피트크기가 적고 수가 많으며 작용 應力이 상대적으로 낮은 경우 슬립대와는 관계없이 高應力에 의해 피트크기가 크고 수도 적게 發生한다고 하였다.

本 實驗에 있어서도 腐蝕피트는 작용 應力 및 反復回數의 영향을 많이 받으며 初期에 腐蝕피트가 發生되었다. 이러한 腐蝕피트는 302MPa의 경우 피트의 크기가 적고 피트의 수는 많이 發生되며, 137 MPa의 경우 피트의 크기가 크고 피트의 수는 감소하였다. 따라서, 이들 腐蝕피트는 작용 應力이 높은 경우 슬립의 영향을 받으며 피트와 피트간의 合體 및 슬립이 溶解되어 피트를 加速化시키는 現像으로 나타나지만, 低應力에서는 슬립의 發生은 인식되지 않고 反復사이클의 영향을 받음을 알 수 있으며 피트 주변의 電氣化學的 因子가 강하게 작용하는 것으로 생각된다.

結果的으로, Endo<sup>8)</sup>의 보고와 마찬가지로 腐蝕작용의 增大에 의해 加速된 金屬溶解의 陽極(anode)反應은 腐蝕疲勞피트의 發生과 함께 鋼中の 水素含量을 용이하게 하므로 노치材의 腐蝕피트가 應力집중원으로 되어 反復사이클의 증가와 함께 疲勞크랙이 發生하는 것으로 고려된다.

### 3.3. 初期크랙의 發生과 反復사이클과의 關係

Table 4는 空氣中과 3% NaCl 水溶液中에서의 初期크랙 發생 사이클수( $N_i$ )와 疲勞壽命( $N_f$ )과의 關係를 나타낸 것으로 初期크랙의 길이는 0.05mm를 기준으로 하였다. 이러한 初期크랙은 材料, 應力레벨, 試驗條件 등의 변화에 따라 다르게 나타난다.

Table 4 Ratio of crack initiation and fracture number of cycles( $N_i/N_f$ )

series		R	H <sub>2</sub>	H <sub>4</sub>	H <sub>6</sub>
Ni/N <sub>f</sub>					
NaCl	302MPa	0.174	0.103	0.127	0.105
	137MPa	0.198	0.152	0.158	0.126
air	302MPa	0.123	0.108	0.088	0.082

Oh<sup>9)</sup>는 空氣中에서 複合組織鋼의 反復回轉급 흡勞試驗에서 微視組織의 변화에 관계없이 疲勞限度의 1.5배인 高應力에서는 全破斷壽命의 4~9%, 疲勞限度의 1.1배인 低應力에서는 7~13%에서 初期크랙이 發生한다고 하였다.

本 實驗의 경우 空氣中에서는 제2상의 硬度가 증가할수록 初期크랙의 發生이 지연되며 모든材料가 全破斷壽命의 8.2~12.3%에서 初期크랙이 發生하였다. 3% NaCl 水溶液中에서는 高應力(302MPa)의 경우 低應力(137MPa)에 의해 初期크랙이 早期에 發生하였으며 高應力에서는 全破斷壽命의 10.3~17.4%에서, 低應力에서는 12.6~19.8%에서 初期크랙이 發生하였다.

高應力레벨에서 3% NaCl 水溶液中에서의 初期크랙 發生시기가 空氣中에 비해 늦게 發生한 이유는 空氣中에서는 노치(notch)에서 主크랙이 發生되지만, 3% NaCl 水溶液中에서는 破斷壽命의 감소와 Fig. 7의 腐蝕피트 성장 과정에서와 같이 腐蝕피트의 영향으로 노치와 노치부근의 피트에서 微視크랙이 發生되어 노치에서의 主크랙과 합체화되므로 初期크랙이 지연되었다고 볼 수 있다. 특히, H<sub>4</sub>材의 경우 腐蝕피트의 영향이 크므로 初期크랙의 發生이 지연되었다고 볼 수 있다.

結果的으로 空氣中에서는 제2상의 硬度가 증가할수록 塑性拘束性이 증가되어 微視크랙이 제2상의 벽이나 境界에서 저지되므로 初期크랙의 發生이 지연되었다고 볼 수 있다. 3% NaCl 水溶液中에서는 應力레벨이 높은 경우 電氣化學的인 작용에 의한 腐蝕피트 이외에도 機械力學的인 疲勞작용에 의해 微視크랙이 작용하므로 이들 腐蝕피트와 微視크랙이 合體가 되어 初期크랙이 早期에 發生되었다고 볼 수 있다. 그러나 應力레벨이 낮은 경우 機械力學的인 疲勞작용보다 電氣化學的인 작용에 의해 腐蝕溶解되므로 初期크랙의 發生이 지연되었다고 할 수 있다.

### 3.4. 疲勞크랙 傳播길이와 反復回轉數와의 關係

Fig. 8, 9는 疲勞크랙 傳播길이와 反復回轉數와의 關係를 나타낸 것으로서, Fig. 8은 空氣中에서 302 MPa의 應力を, Fig. 9는 3% NaCl 水溶液中에서 302 MPa와 137MPa의 應力を 작용 시켰을 때 나타난 결과이다. 空氣中의 경우 제2상 硬度변화에 따라서

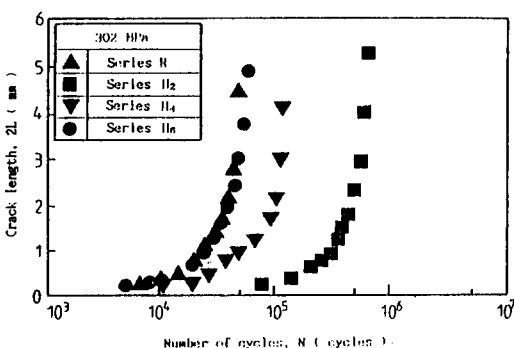


Fig. 8 Crack length vs. number of cycles in air

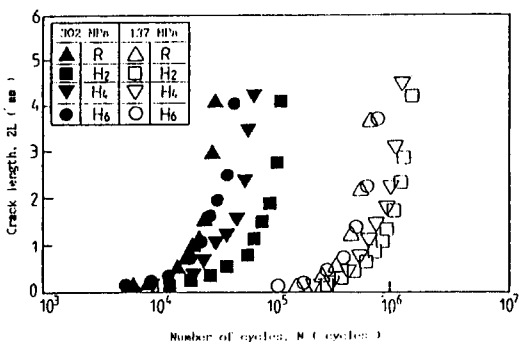


Fig. 9 Crack length vs. number of cycles in 3% NaCl solution

初期크랙 발생 시기의 차이가 크며 크랙길이 1mm 미만에서는 크랙傳播가 느리지만 1mm 이상에서는 빠르게傳播됨을 알 수 있다. 그리고, 각材料간의 크랙傳播 과정의 차이는 인식되지 않았다.

특히, H<sub>6</sub>材의 경우 크랙傳播 과정이母材(R)와 거의同一한 경향이므로 H<sub>6</sub>材는 모상과 제2상의硬度차이가母材와 같이 거의均質材에 가까운組織임을 알 수 있다.

Ishihara<sup>3)</sup>는 疲勞크랙의母相選擇性的 요인은 제2상에 의해母相이塑性拘束力を 받으므로塑性拘束성이 낮은 경우母相에서 쉽게 슬립이 일어나며 슬립變形性에 의해 제2상에서도 용이하게傳播된다고 하였다.

結果的으로 제2상硬度가 낮을수록 初期크랙 발생시기가 빠르므로 疲勞壽命이 짧음을 알 수 있다. 3% NaCl水溶液中的 경우 제2상硬度변화에 따라서는 初期크랙 발생시기의 차이가 그다지 나타나지 않았으나, 작용 應力레벨의 변화에 따라서 初期크랙 발생시기의 차이가 크게 나타났다. 크랙傳播과정은

거의曲線으로 진행되며 제2상硬度가 클수록傳播壽命을 점하는 비율이 증가하였다. 따라서,空氣中보다 3% NaCl水溶液中的 경우 크랙傳播壽命을 점하는 비율이 큰 이유로서 Kondo<sup>9)</sup>는腐蝕피트가臨界피트에 도달하면腐蝕피트가應力집중원이되어크랙이발생한다고하였으며, Nisitani<sup>10)</sup>는腐蝕피트가발생하면腐蝕피트는쇄기(wedge)작용을하며,크랙면의크랙先端부에서는腐蝕反應에의한溶解작용을받으므로크랙傳播速度가加速化된다고하였다. 또한,腐蝕피트에서발생한微視크랙들이合體 또는干渉의영향을받으므로空氣中에서보다크랙傳播가빠르게진행되므로傳播壽命이감소되었다고생각된다.

結果的으로,空氣中에서슬립은제2상의拘束性에영향을많이받으므로壽命이증가하지만, 3% NaCl水溶液中에서는제2상의境界나그부근에서腐蝕이발생되므로모상에서의微視크랙은제2상의塑性拘束力의弱화로크랙傳播壽命이감소되었으며初期크랙發生은硬度변화에관係없이應力레벨에의존하였다.

### 3.5. 疲勞크랙傳播速度와應力擴大係數와의關係

疲勞크랙傳播速度( $da/dN$ )와크랙先端의局部的인應力分布를 나타내는Parameter인應力擴大係數범위( $\Delta K$ )에 대한관계는Paris법칙을일반적으로 사용하고 있다.

回轉굽힘疲勞試驗에 있어서應力擴大係數의 관계식은  $Oh^{10})$ 에 의하면 환봉表面에서의圓孔노치의 주변應力 및 크랙先端의應力분포는無限평판中央에 있는圓孔노치 또는크랙이引張應力を 받을 때와 유사하다고하였다. 따라서應力擴大係數( $K$ )式을 다음과 같이簡便式으로 사용할 것을 제안하였다.  $K = \sqrt{\sigma a}$ . 疲勞크랙傳播速度( $da/dN$ )와應力擴大係數( $\Delta K$ )의 관계를 Paris법칙으로 표시하면 다음과 같다.  $da/dN = C(\Delta K)^m$ 이다.(여기서,  $\sigma$ : 굽힘應力,  $a$ : 圓孔노치에서 발생된 크랙길이의 1/2,  $c$ 와  $m$ 은 상수이다) 그후 Tokaji<sup>11)</sup> 등은負荷應力이降狀强度와비교하여작을경우回轉굽힘負荷狀態하의疲勞크랙傳播특성은上式에의해평가될수있다고보고하였다. 本實驗에서는上式을이용하여  $\Delta K$ 를 계산하였다.

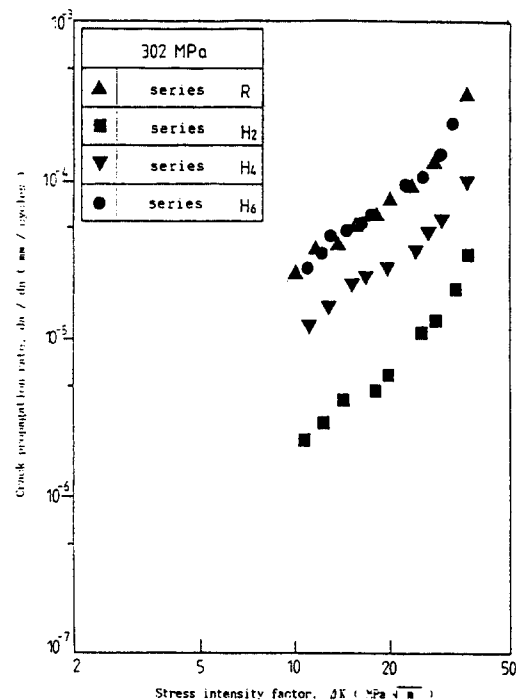


Fig. 10 Crack propagation rate vs. stress intensity factor in air

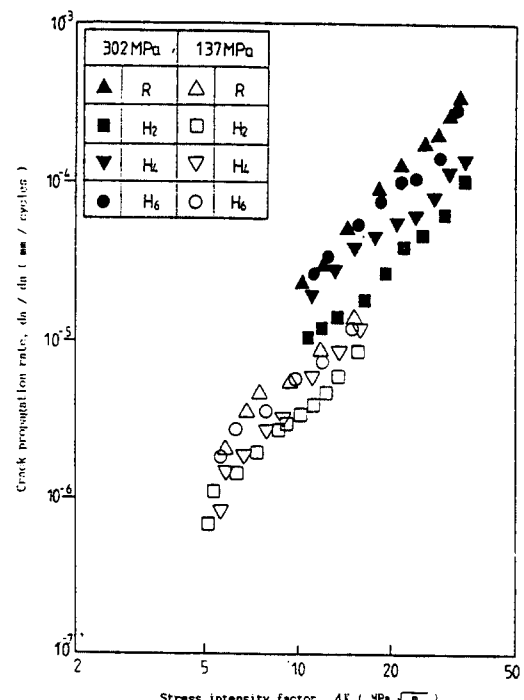


Fig. 11 Carck propagation rate vs. stress intensity factor in 3% NaCl solution

Fig. 10은 空氣中에서 302MPa의 應力を, Fig. 11은 3% NaCl 水溶液中에서 302MPa과 137MPa의 應力を作用시켰을 때의 疲勞크랙 傳播速度( $da/dN$ )와 應力擴大係數範圍( $\Delta K$ )의 관계를 표시한 것이다.

空氣中에서 기울기( $m$ )의 범위는 1.61~2.00로서 제2상의 硬度가 저하할 수 있도록  $m$ 이 크고 크랙傳播速度가 빠르다는 것을 알 수 있으며 제2상 경도변화에 대한 크랙傳播速度의 차이가 인식되었다.

3% NaCl 水溶液中에서 302MPa의 경우  $m$ 의 범위는 1.45~2.57이며, 137MPa의 경우  $m$ 의 범위는 1.52~2.21로서 高·低應力 레벨에 따라서 차이가 크게 없으나 동일  $\Delta K$  영역에서는 크랙傳播速度의 차이가 인식되었다. 특히, R, H<sub>4</sub>, H<sub>6</sub>材는 작용 應力레벨이 302 MPa인 경우 3% NaCl 水溶液中과 空氣中에서의 應力擴大係數範圍에 대한 크랙傳播速度의 차이가 적으나, H<sub>2</sub>材는 그 차이가 큰것으로 보아 H<sub>2</sub>材가 腐蝕에 접하는 기간이 길므로 環境에 대한 敏感性과 空氣中の 實驗에 비하여 反復速度의 영향이 크다고 생각된다.

한편, 137MPa의 應力레벨일때 302MPa의 경우에

비해 크랙傳播速度와  $\Delta K$ 의 범위가 좁아졌으며, 각材料에서 應力擴大係數範圍에 대한 크랙傳播速度의 폭도 감소하였다.

Kobayashi<sup>5)</sup> 등의 腐蝕疲勞試驗에서 下限界 應力擴大係數는 3% NaCl 水溶液中의 경우 空氣中보다도 저하하지만 材料組織의 존성은 空氣中과 동일한 경우로 되었다.

이상의 결과, 應力擴大係數의 범위는 작용應力의 레벨에 따라 변화되며, 空氣中에서의 크랙傳播速度는 제2상 硬度변화에 차이가 크지만, 3% NaCl 水溶液中에서는 제2상 硬度변화의 차이가 적게 나타나고 應力레벨의 범위에 따라서 차이가 확인되었다.

### 3.6. 疲勞크랙 傳播特性

Fig. 12는 3% NaCl 水溶液中에서 H<sub>2</sub>材에 대해서 302MPa와 137MPa의 應力を負荷하였을 때 電子顯微鏡에 의해 크랙傳播밀기를 확대관찰한 것으로 高應力에서는 空氣中과 같이 力學的인 작용을 주로

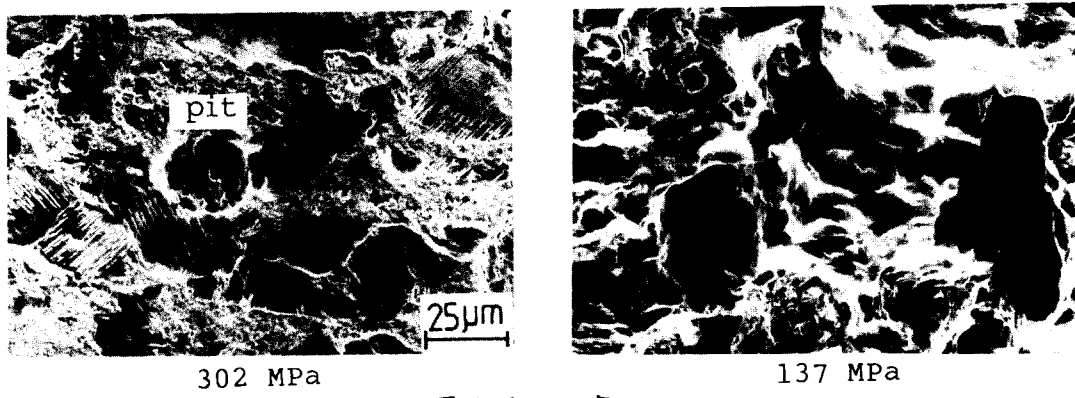
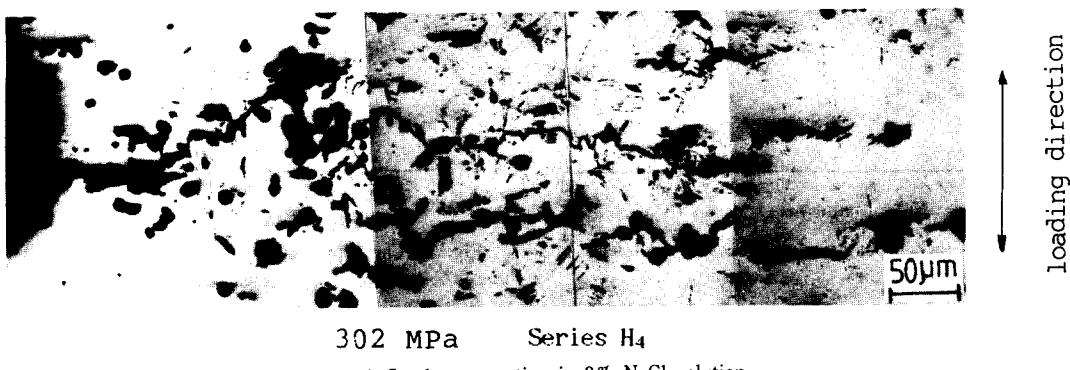
Fig. 12 S.E.M. fractography on pit, slip and micro crack in series H<sub>6</sub>

Fig. 13 Crack propagation in 3% NaCl solution

받으므로 피트와 슬립이 공존하여 크랙이傳播하며  
크랙先端에서는 제2상硬度가 저하할수록腐蝕의  
영향보다는 슬립에 의해 크랙이 발생傳播함을 알  
수 있다.

低應力에서는電氣化學的인 작용에 의해全面이  
腐蝕熔解되었으며主크랙외에 피트에서도 크랙이  
발생 및 성장하였다.

따라서, 제2상의硬度가 저하할수록 그리고, 작용  
應力의 레벨이 낮을 수록腐蝕의 영향을 많이 받으  
므로疲勞傳播壽命이 감소됨을 알 수 있다.

Fig. 13은 3% NaCl水溶液中에서 H<sub>4</sub>材에 대해서  
302MPa의應力を負荷한 것으로 크랙길이 1mm일때  
알루미나 파우더로研磨하여 金屬顯微鏡으로 관찰한  
것이다. 피트에서 발생한 微視크랙은 反復回數의 증  
가에 의해 인접한 피트에서 발생한 微視크랙과 合  
體하는 현상이 일어났다. 또한, 이를 피트는 주로 제2  
상의 경계에서 발생하여 페라이트상으로 微視크랙이

확산되어塑性拘束力이 감소되므로 더욱 쉽게 크랙이  
발생傳播됨을 알 수 있었다.

Fig. 14는 3% NaCl水溶液中에서의巨視의破  
斷面形狀으로高應力에서는合體현상이 비교적 적  
으므로低應力에 비해 평탄하게 나타나지만, 低應力  
에서는 제2상硬度변화에 차이가 있으며, 특히, H<sub>2</sub>  
材의 경우主크랙외에 피트에서 발생한 여러개의  
크랙이 결국破斷직전에 중앙에서合體되어破斷되  
므로중앙부분은空氣中の引張破斷面形狀으로나  
타났다. 따라서低應力에서는腐蝕의 영향을 많이  
받으므로 제2상硬度가 클수록破斷面이거칠고段이  
증가된形狀으로破斷되었다.

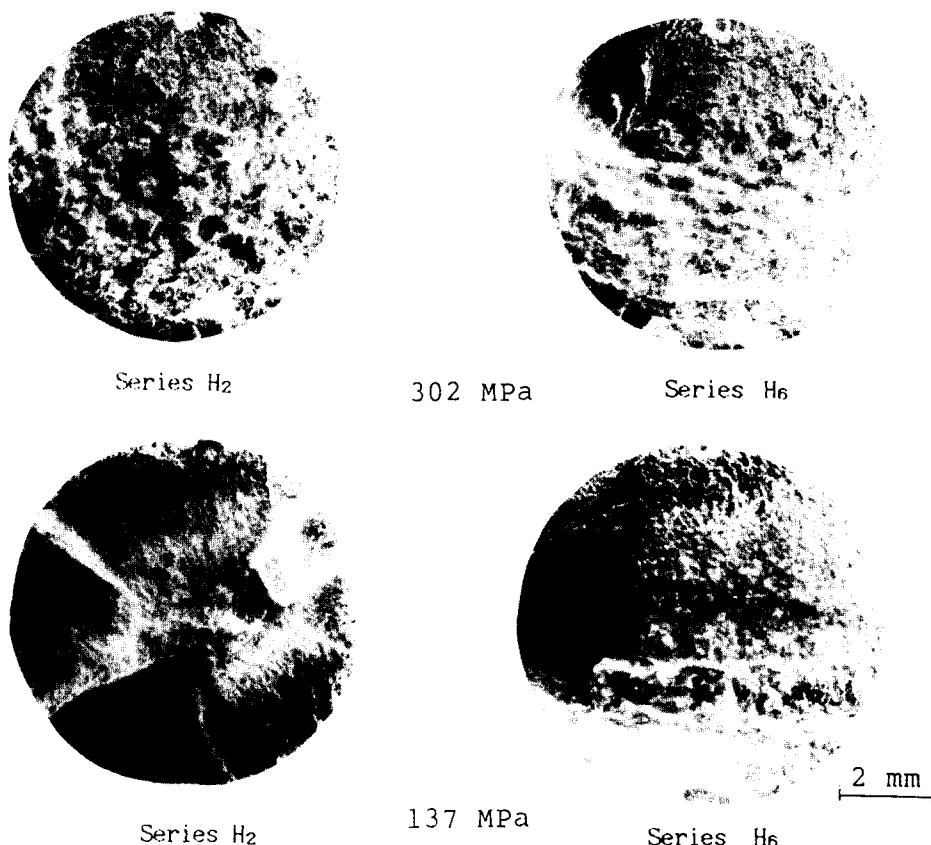


Fig. 14 Macro fatigue fracture surface in 3% NaCl solution

## 參 考 文 獻

- 1) 金植圭: 複合組織鋼의 破斷延性에 미치는 塑性拘束에 의한 内部應力의 影響, 大韓機械學會論文集, 第7卷 第2號,(1983), pp. 123~129
- 2) 吳世旭, 金雄執: 複合組織鋼의 微視組織 變化가 疲勞破壞傳播에 미치는 影響, 韓國海洋工學會誌, 第5卷, 第2號(1991), pp. 58~66
- 3) 石原 豪: 2相鋼の高平均應力にあける下波勞龜 裂の 組織選擇性, 日本金屬學會論文集, 第47卷, 第1號,(1993), pp. 67~72
- 4) 皮寵石 紀雄, 西谷弘信, 豊廣利信: DP鋼の微小疲労き裂の傳は特性に及ぼす微視組織の影響, 日本機械學會論文集(A編), 第7卷, 第544號, (1993)

- 91), pp. 2866~2872
- 5) 小林英男, 石崎哲行, 高鴻茂: 高強度鋼の海洋環境腐蝕疲労き裂進展下限界特性の評價, 日本機械學會文集(A編), 第52卷, 第480號, (1986), pp. 1778~1785.
- 6) 増田千利, 西島 敏, 阿部孝行, 住吉英志: S45C, SCM435鋼の回轉曲げ腐蝕疲労破壞機構, 日本機械學會論文集(A編), 第50卷, 第453號, (1984), pp. 1019~1025
- 7) 後藤眞宏, 福島, 茂, 西谷弘信, 三浦篤義: 3%食鹽水中にあけるS45C 調質材の疲労過程, 日本機械學會論文集(A編), 第57卷, 第542號(1991), pp. 2313~2320
- 8) 遠藤吉郎, 駒井謙治郎, 今城信雄: 高強度鋼の疲労き裂發生と進展に及ぼす環境效果, 日本機械學會論文集(第1部), 第42卷, 第361號, (1976), p.

265

- 9) Y. Kondo : Prediction of Fatigue Crack Initiation Life Based on Pit Growth, Corrosion, Vol. 45, No. 1, (1989), PP. 7~11  
 10) 吳世旭, 廉永夏 : 回轉굽힘을 받는 스프링鋼의 疲勞限度와 龜裂傳播에 관한 研究(第1報), 大韓機械學會誌, 第14卷, 第2號, (1974), pp. 149~

161

- 11) Tokaji, K., T. OgaWa, Y. Harada and Z. Ando, : Limitation of Linear Elastic Fracture Mechanics for Grawing Small Fatigue Cracks and Its Dependence on Microstructure, Metal, Vol. 34, No. 385, (1985), pp. 1160~1166